

УДК 621.791.92

**МОДЕЛИРОВАНИЕ ДЕЙСТВИЯ НАКЛОННОЙ ПОДВИЖНОЙ СИЛЫ
НА ПОЛУБЕСКОНЕЧНУЮ ПЛАСТИНУ,
ПОЛНОСТЬЮ СЦЕПЛЕННУЮ С УПРУГИМ СЛОЕМ
ПРИМЕНИТЕЛЬНО К ПРОБЛЕМАМ ТЕХНИКИ****В. Л. Воробьев¹**

Поставленная задача моделирования сведена к системе трех интегральных уравнений на полубесконечном интервале с разностными ядрами. Получено приближенное решение этих уравнений методом ортогональных многочленов.

Ключевые слова: система трех интегральных уравнений, приближенное решение методом ортогональных многочленов.

Для повышения износостойкости деталей судовых машин и механизмов применяется метод нанесения на основную деталь износостойких покрытий малой толщины с высокими прочностными и износостойкими характеристиками. Поэтому поставлена **цель** исследовать напряженно-деформируемое состояние деталей с покрытием в зависимости от механических характеристик основной детали, моделируемой как упругий слой и покрытия, моделируемого как полубесконечная пластинка, нагруженная вертикальной и горизонтальными нагрузками, движущимися с постоянной скоростью V вдоль торца покрытия.

Задача сведена к системе трех интегральных уравнений на полубесконечном интервале с разностными ядрами и указан приближенный метод решения этих уравнений методом ортогональных многочленов.

Полубесконечная пластина (рис. 1), занимающая область $(x \geq 0, |y| < \infty)$ с жесткостью D и толщиной $2h$, полностью сцеплена с упругим слоем толщиной H . На пластину действует наклонная сила \bar{P} , приложенная в точке $M_0(a, b)$, которая движется в направлении оси Oy с постоянной скоростью V . Определяются контактные напряжения $p_k(x, y)$ ($k = 1, 2, 3$) и расчетные усилия в пластине. Сила \bar{P} имеет проекции $q_k(x, y) = P_k \delta(x - a, y - b - Vt)$.

Для пластины контактные напряжения и перемещения находятся из системы дифференциальных уравнений [1], записанного для преобразования Фурье в комплексной форме по новой переменной $\bar{y} = y - Vt$ с параметром λ :

¹ © Воробьев В. Л., к.физ.-мат.н., доцент, Одесская национальная морская академия.

$$\left\{ \begin{aligned} & U_{1,\lambda}''(x) - v_2 i \lambda U_{2,\lambda}'(x) - v_1 \lambda^2 U_{1,\lambda}(x) + \frac{1}{\theta} [q_{1,\lambda}(x) - p_{1,\lambda}(x)] = \\ & = \frac{2\rho h V^2 \lambda^2}{\theta} U_{1,\lambda}(x), \\ & -\lambda^2 U_{2,\lambda}(x) - v_2 i \lambda U_{1,\lambda}' + v_1 U_{2,\lambda}''(x) + \frac{1}{\theta} [q_{2,\lambda}(x) - p_{2,\lambda}(x)] = \\ & = \frac{2\rho h V^2 \lambda^2}{\theta} U_{2,\lambda}(x), \\ & D \left(\frac{d^2}{dx^2} - \lambda^2 \right)^2 U_{3,\lambda}(x) = q_{3,\lambda}(x) - p_{3,\lambda}(x) - h [q_{1,\lambda}(x) + p_{1,\lambda}(x)]' - \\ & - \frac{2\rho h V^2 \lambda^2}{\theta} U_{3,\lambda}(x) + i \lambda h [q_{2,\lambda}(x) + p_{2,\lambda}(x)], \quad (k=1,2) \\ & \theta = \frac{1-v^2}{2E h}, \quad D = \frac{h^2}{3\theta}, \quad v_k = \frac{1+(-1)^k v}{2}, \end{aligned} \right. \quad (1)$$

$$[q_m, p_m, U_m, V_m(x, \bar{y})] = \frac{1}{4\pi^2} \int \int_{-\infty}^{\infty} [q_m^{\lambda, \omega}, p_m^{\lambda, \omega}, U_m^{\lambda, \omega}, V_m^{\lambda, \omega}(x)] e^{-i\bar{y}\lambda} d\lambda d\omega.$$

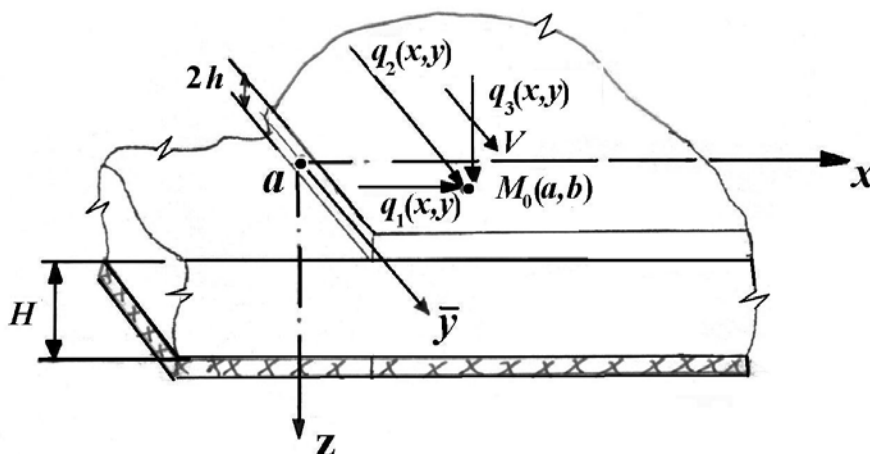


Рис. 1

Преобразования Фурье перемещений $V_{m,\lambda}(x)$, ($m = 1, 2, 3$; $-\infty < x < \infty$) поверхностных точек упругого слоя связаны с преобразованиями Фурье контактных напряжений $p_{j,\lambda}(x)$, следующими интегральными соотношениями [2]:

$$\begin{aligned}
V_{m,\lambda}(x) &= \theta_0 \sum_{j=1}^3 \int_0^{\infty} K_{mj}^{\lambda}(x-s) p_{j,\lambda}(s) ds, \quad K_{mj}^{\lambda}(z) = \frac{1}{2\pi} \int_{-\infty}^{\infty} H_{mj}^{\lambda}(t) e^{-izt} dt, \quad m, j = 1, 2, 3; \\
H_{11}^{\lambda}(t) &= t^2 M(u) + \lambda^2 N(u), \quad H_{22}^{\lambda}(t) = t^2 N(u) + \lambda^2 M(u), \\
H_{12}^{\lambda}(t) &= H_{21}^{\lambda}(t) = t\lambda[M(u) - N(u)]; \quad H_{13}^{\lambda}(t) = -H_{31}^{\lambda}(t) = itP(u), \\
H_{32}^{\lambda}(t) &= -H_{23}^{\lambda}(t) = i\lambda P(u), \quad u = \sqrt{t^2 + V^2 \lambda^2}; \quad \sigma_n = \sqrt{u^2 - k_n^2}, \quad (n = 1, 2); \\
k_2^2 &= \rho_0 V^2 \lambda^2 H_c^2; \quad k_1^2 = k_2^2 (1 - 2\nu_0) / (2 - 2\nu_0); \\
M(u) &= k_2^2 [\sigma_2 \operatorname{sh} 2\sigma_2 \cdot \operatorname{ch} 2\sigma_1 - \sigma_1^{-1} u^2 \operatorname{sh} 2\sigma_1 \operatorname{ch} 2\sigma_2] / (2u^2 \Delta(u)); \\
N(u) &= 2 \operatorname{sh} 2\sigma_2 / (u^2 \sigma_2 \operatorname{sh} 2\sigma_2); \\
P(u) &= (2u^2 - 0,5k_2^2) (1 - \operatorname{ch} 2\sigma_1 \operatorname{ch} 2\sigma_2) / \Delta(u) + \\
&+ \sigma_1^{-1} \sigma_2^{-1} \Delta^{-1}(u) [2u^4 - u^2 (1,5k_2^2 + k_1^2) + k_2^2 k_1^2] + \operatorname{sh} 2\sigma_1 \operatorname{sh} 2\sigma_2; \\
R(u) &= k_2^2 (2\Delta(u))^{-1} [\sigma_1^2 \operatorname{sh} 2\sigma_1 \operatorname{ch} 2\sigma_2 - \sigma_2^{-1} u^2 \operatorname{sh} 2\omega_2 \operatorname{ch} 2\sigma_1]; \\
\Delta(u) &= u^2 (2u^2 - k_2^2) - (2u^4 - uk_2^2 + 0,25k_2^4) \operatorname{ch} 2\sigma_1 \operatorname{ch} 2\sigma_2 + \\
&+ \sigma_1^{-1} \sigma_2^{-1} u^2 [2u^4 - u^2 (2k_2^2 + k_1^2) + k_1^2 k_2^2 + 0,25k_2^4] \operatorname{sh} 2\sigma_1 \operatorname{sh} 2\sigma_2.
\end{aligned} \tag{2}$$

Если толщина слоя достаточно большая, то его можно моделировать как упругое полупространство, для которого в формуле (2) следует положить

$$\begin{aligned}
M(u) &= -0,5 \theta_2^2 \sigma_2^0 / u^2 / \Delta_0(u); \quad N(u) = 2 / u^2 / \sigma_2^0; \\
P(u) &= (u^2 - 0,5 \theta_2^2 - \sigma_1^0 \sigma_2^0) / \Delta_0(u); \quad R(u) = -0,5 \theta_2^2 \sigma_1^0 / \Delta_0(u); \\
\Delta_0(u) &= (u^2 - 0,5 \theta_2^2)^2 - u^2 \sigma_1^0 \sigma_2^0; \quad \sigma_k^0 = \sqrt{u^2 - \theta_k^2}; \\
\theta_1^2 &= \rho_0 V^2 |\lambda|^2 \alpha_0; \quad \theta_2^2 = \rho_0 V^2 |\lambda|^2 \zeta_0; \\
\theta_0 &= 2(1 - \nu_0^2) / E_0, \quad \zeta_0 = \nu_0 / (1 - \nu_0), \quad \alpha_0 = (1 - 2\nu_0) / (2 - 2\nu_0).
\end{aligned} \tag{3}$$

В формулах (1)-(3) E, E_0 – модули упругости, ν, ν_0 – коэффициенты Пуассона, ρ, ρ_0 – удельные веса материалов пластины и упругого слоя.

Преобразования Фурье перемещений пластины и упругого слоя должны удовлетворять условиям контакта

$$\begin{aligned} U_{1,\lambda}(x) &= V_{1,\lambda}(x) + h U'_{3,\lambda}(x), \quad U_{2,\lambda}(x) = V_{2,\lambda}(x) + i\lambda h U_{3,\lambda}(x), \\ U_{3,\lambda}(x) &= V_{3,\lambda}(x), \quad x \geq 0. \end{aligned} \quad (4)$$

Если $\lambda \neq 0$, то общие, исчезающие на бесконечности, решения дифференциальных уравнений из (1) имеют вид:

$$\begin{aligned} U_{1,\lambda}(x) &= c^{-1} (a_{1,\lambda} + a_{2,\lambda} V|\lambda|x) e^{-V|\lambda|x} + I_1^0 [q_{1,\lambda}(x) - p_{1,\lambda}(x)] + \\ &+ \rho \left\{ \lambda^2 I_2^0 [q_{1,\lambda}(x) - p_{1,\lambda}(x)] - i\lambda I_2^1 [q_{2,\lambda}(x) - p_{2,\lambda}(x)] \right\}, \\ U_{2,\lambda}(x) &= -ic^{-1} |\lambda|/\lambda [a_{1,\lambda} + a_{2,\lambda} ((3-v)/(1+v) - V|\lambda|x)] e^{-V|\lambda|x} + \\ &+ \frac{1}{v_1} I_1^0 [q_{2,\lambda}(x) - p_{2,\lambda}(x)] - \rho \left\{ \lambda^2 I_2^0 [q_{2,\lambda}(x) - p_{2,\lambda}(x)] + i\lambda I_2^1 [q_{1,\lambda}(x) - p_{1,\lambda}(x)] \right\}, \end{aligned} \quad (5)$$

$$\begin{aligned} U_{3,\lambda}(x) &= (h)^2/3c (a_{3,\lambda} + a_{4,\lambda} V|\lambda|x) e^{V|\lambda|x} + I_2^0 [q_{3,\lambda}(x) - p_{3,\lambda}(x)] - \\ &- h I_2^1 [q_{1,\lambda}(x) + p_{1,\lambda}(x)] + i\lambda h I_2^0 [q_{2,\lambda}(x) + p_{2,\lambda}(x)] \end{aligned}$$

$$\rho = (1+v)/(1-v); \quad c = \theta_0/\theta; \quad x \geq 0,$$

$$I_n^r [f(x)] = \int_0^\infty G_{nr}^\lambda (|x-s|) f(s) ds, ;$$

$$G_{nr}^\lambda(z) = \frac{1}{2\pi} \int_{-\infty}^\infty \frac{(it)^r e^{izt}}{(t^2 + \lambda^2)^n - 2\rho hV^2\lambda^2} dt, \quad (r \leq 2n).$$

Постоянные $a_{j,\lambda}$ ($j=1, 2, 3, 4$) определяются из условий на торце покрытия для преобразования Фурье напряжений, моментов, и обобщенных поперечных сил, определяемых по формулам

$$\begin{aligned} \sigma_{x,\lambda}(x) &= E [U'_{1,\lambda}(x) - v i \lambda U_{2,\lambda}(x)] / (1 - v^2), \\ \tau_{xy,\lambda}(x) &= E [U'_{2,\lambda}(x) - i \lambda U_{1,\lambda}(x)] / (2 + 2v); \\ M_{x,\lambda}(x) &= -D [U''_{3,\lambda}(x) - v \lambda^2 U_{3,\lambda}(x)] \\ (D)^{-1} Q_{x,\lambda}(x) &= -U'''_{3,\lambda}(x) + (2 - v) \lambda^2 U'_{3,\lambda}(x) - h [q_{1,\lambda}(x) + p_{1,\lambda}(x)] \end{aligned} \quad (6)$$

Для определения неизвестных контактных напряжений в результате подстановки (2) и (5) в условия контакта (4) получена система из шести интегральных уравнений. Эта система после введения обозначений $\lambda x = t$, $\lambda s = \tau$,

$$\lambda^{-1} [p_{k,\lambda}(t/\lambda), q_{k,\lambda}(t/\lambda)] = [p_k(t), q_k(t)],$$

примет вид

$$\sum_{k=1}^3 \int_0^{\infty} \ell_{rk,\lambda}(|t-\tau|) p_k(\tau) d\tau = (A_{r,\lambda} + B_{r,\lambda} |\lambda| t) e^{-|\lambda|t} + cf_{r,\lambda}(t), \quad t \geq 0; \quad r=1, 2, 3; \quad (7)$$

$$\ell_{rk,\lambda}(z) = \frac{1}{2\pi} \int_{-\infty}^{\infty} [H_{rk}^{\lambda}(t) + h_{rk,\lambda}(t)] e^{-izt} dt.$$

Входящие сюда функции и постоянные определяются по формулам:

$$h_{11,\lambda}(t) = 2c (2\omega_{\lambda} - \alpha \lambda^2 \omega^2); \quad h_{12,\lambda}(t) = -h_{21,\lambda}(t) = 2c \alpha i t \omega^2; \quad \omega_{\lambda} = (t^2 + V^2 \lambda^2)^{-1};$$

$$h_{22,\lambda}(t) = 2c [(1-\nu)^{-1} \omega_{\lambda} + \alpha V^2 \lambda^2 \omega^2]; \quad h_{13,\lambda}(t) = -h_{31,\lambda}(t) = 2c i t \omega_{\lambda}^2 / h;$$

$$h_{33,\lambda}(t) = 2c h^{-2} \omega_{\lambda}^2; \quad h_{23,\lambda}(t) = -h_{32,\lambda}(t) = 2c i V \lambda \omega_{\lambda}^2 / h;$$

$$f_{1,\lambda}(x) = -2I_1^0[q_{1,\lambda}(x)] + \gamma V^2 \lambda^2 I_2^0[q_{1,\lambda}(x)] - \gamma i V \lambda I_2^1[q_{2,\lambda}(x)] - \frac{3}{h} I_2^1[q_{3,\lambda}(x)]; \quad (8)$$

$$f_{2,\lambda}(x) = -\gamma I_2^1[q_{1,\lambda}(x)] - \gamma V^2 \lambda^2 I_2^0[q_{2,\lambda}(x)] - \frac{2}{1-\nu} I_1^0[q_{2,\lambda}(x)] - \frac{3}{h} i V \lambda I_2^0[q_{3,\lambda}(x)];$$

$$f_{3,\lambda}(x) = -\frac{3}{h^2} \{h I_2^1[q_{1,\lambda}(x)] - h i V \lambda I_2^0[q_{2,\lambda}(x)] + I_2^0[q_{3,\lambda}(x)]\},$$

$$\alpha = (1-2\nu)/(1-\nu); \quad \gamma = 2(2-\nu)/(1-\nu).$$

$$A_{1,\lambda} = a_{4,\lambda} + h V \lambda (a_{1,\lambda} - a_{2,\lambda}); \quad A_{2,\lambda} = \frac{|\lambda|}{i\lambda} \left[a_{3,\lambda} - \frac{3-\nu}{1+\nu} a_{4,\lambda} \right] + h \lambda a_{1,\lambda};$$

$$A_{3,\lambda} = a_{1,\lambda}; \quad B_{1,\lambda} = a_{4,\lambda} + h V \lambda a_{2,\lambda}; \quad B_{2,\lambda} = \frac{|\lambda|}{i\lambda} a_{4,\lambda} + h V \lambda a_{2,\lambda}; \quad B_{3,\lambda} = a_{2,\lambda}.$$

Приближенное решение системы (7) строится методом ортогональных многочленов [3] и разыскивается в виде следующего ряда ($x, \lambda > 0$):

$$p_k(\tau) = 2(2\bar{\lambda}\tau)^{-1/2} e^{-\bar{\lambda}\tau} \sum_{n=0}^{\infty} \mu_n \varphi_{n,k} L_n^{-1/2}(2\bar{\lambda}\tau), \quad \mu_n = \frac{2\sqrt{2}n!}{\Gamma(n+1/2)}, \quad (\bar{\lambda} = V\lambda), \quad x, \lambda > 0, \quad (9)$$

$L_n^{\alpha}(z)$ – многочлены Чебышева-Лагерра; $\Gamma(z)$ – гамма-функция Эйлера [4].

В результате применения этого метода относительно коэффициентов разложения получим блочную систему уравнений для определения коэффициентов $\varphi_{n,j}$ ряда (9)

$$\sum_{k=1}^3 \sum_{n=0}^{\infty} I_{m-n,r,k} \varphi_{n,k} = f_{m,r}, \quad r = 1, 2, 3; \quad m = 0, 1, 2, \dots$$

$$I_{m-n,r,k} = 4\mu_m \mu_n \int_0^{\infty} \int_0^{\infty} \ell_{rk,\lambda}(|t-\tau|) e^{-(t+\tau)} (4t\tau)^\alpha L_m^\alpha(2\tau) L_n^\alpha(2t) dt d\tau, \quad (10)$$

$$f_{m,r} = 2\mu_m \int_0^{\infty} \left[c \lambda(A_r + B_r t) e^{-t} + f_r(t) \right] e^{-t} (2t)^\alpha L_m^\alpha(2t) dt, \quad (\alpha = -1/2).$$

Входящие сюда функции $f_{r,\lambda}(t)$ зависят от загрузки покрытия. Если нагрузки загружены по линиям $x = b_j$, $j = 1, 2, 3$ (изображенных на рис. 2) эти коэффициенты представим в виде

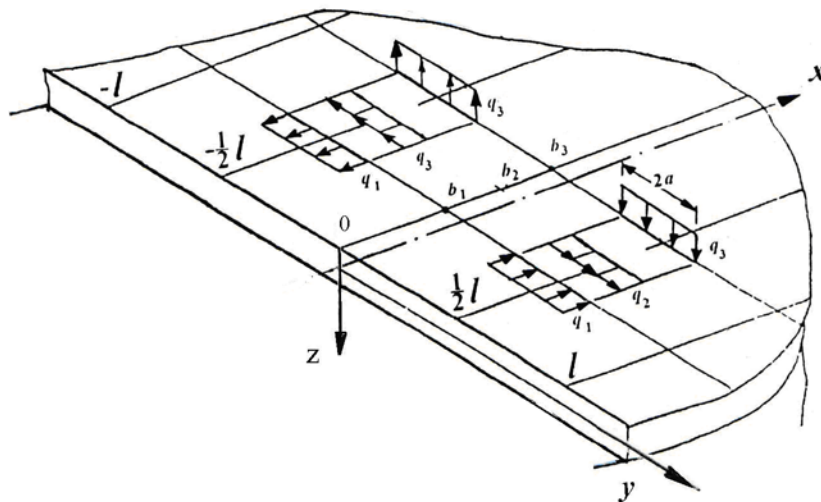


Рис. 2

$$\bar{f}_{m,1} = -2R_m^{1,0}(\beta_1) + \gamma R_m^{2,0}(\beta_1) + \gamma R_m^{2,1}(\beta_2) - 3h^{-1}R_m^{2,1}(\beta_3); \quad \beta_j = cb_j;$$

$$\bar{f}_{m,2} = \gamma R_m^{2,1}(\beta_1) + \frac{2}{1-\nu} R_m^{1,0}(\beta_1) - \gamma R_m^{2,0}(\beta_2) + 3h^{-1}R_m^{2,0}(\beta_3); \quad (11)$$

$$\bar{f}_{m,3} = -3h^{-1} \left[R_m^{2,1}(\beta_1) + R_m^{2,0}(\beta_2) + h^{-1}R_m^{2,0}(\beta_3) \right] \quad R_m^{2,1}(x) = \left(R_m^{2,0}(x) \right)'$$

Функции $R_n^{p,0}(z)$ будут определяться формулами

$$\begin{aligned}
 R_0^{1,0}(z) &= e^{-z} [0,5 \cdot \Gamma^*(z) + \sqrt{2z}] / \sqrt{\pi}, \quad \Gamma^*(z) = e^{2z} \Gamma(0,5; 2z), \\
 R_0^{2,0}(z) &= e^{-z} [(2,5 - 2z) \cdot 1,5 \cdot \Gamma^*(z) + (3,75 + 2z) \sqrt{2z}] / 6 / \sqrt{\pi}, \\
 R_1^{1,0}(z) &= -e^{-z} (2z)^{2+\alpha} [2\Gamma(3+\alpha)]^{-1}, \\
 R_1^{2,0}(z) &= -e^{-z} \left\{ 3,75 \cdot [0,5 \cdot \Gamma^*(z) + \sqrt{2z}] + (2z)^{1,5} (2,5 + 2z) \right\} / 15 / \sqrt{\pi}, \\
 R_m^{p,0}(z) &= \frac{(-1)^p 2^{1-2p}}{\Gamma(p+0,5+m)} (m-p)! e^{-z} (2z)^{2p-0,5} L_{m-p}^{2p-0,5}(2z), \quad p=1, 2; \quad m=2, 3, \dots,
 \end{aligned} \tag{12}$$

где $\Gamma(\alpha, 2z)$ – неполная Гамма-функция [4] (штрих означает производную).

Входящие в искомое решение (9) коэффициенты $\varphi_{n,k}$ находятся из бесконечной системы (10). Так как правые части системы содержат неизвестные произвольные постоянные A_r, B_r ($r=1, 2, 3$), которые выражаются согласно (8) через a_j ($j=1, 2, 3, 4$), то пользуясь линейностью этой системы, коэффициенты $\varphi_{n,k}$ будем разыскивать в виде

$$\varphi_{n,k} = \sum_{p=1}^3 \left(A_{p,\lambda} \varphi_{n,k,p} + B_{p,\lambda} \bar{\varphi}_{n,k,p} \right) + \varphi_{n,k,p}; \quad (n=0, 1, 2, \dots; \quad k=1, 2, 3), \tag{13}$$

где $\varphi_{n,k,r}, \bar{\varphi}_{n,k,r}, \varphi_{n,k,4}$ находятся из бесконечной системы (12), в правых частях которых, соответственно записанных в (17) слагаемым, вместо $f_{m,r}$ находятся величины

$$\delta_{ip} \delta_{1m}, \quad \delta_{rp} (\delta_{0m} - 2\delta_{1m}) / 4, \quad \bar{f}_{m,r}. \tag{14}$$

Бесконечные системы (10) с учетом (13), (14) удобно решать приближенно методом редукции.

Постоянные $a_{j,\lambda}$ ($j=1, 2, 3, 4$), входящие в (5) и (13), определяются из формул (6) при $x=0$. Подставив формулы (5) в (13) и положив $x=0$, получим следующую систему уравнений:

$$\begin{aligned}
 & (1-\nu)\lambda c^{-1}[(1-\nu)/(1+\nu)a_2 - a_1] - \sigma_1\varphi_{0,1} + \sigma_2\varphi_{0,2} + \sigma_3(\varphi_{1,1} + \varphi_{1,2}) = \\
 & = 2h \sigma_{x,\lambda}(0) - \bar{\sigma}_{x,\lambda}(0, \beta_1); \\
 & (1-\nu)\lambda c^{-1}[2/(1+\nu)a_2 - a_1] - \tau_1\varphi_{0,1} + \tau_2\varphi_{0,2} + \tau_3(\varphi_{1,1} + \varphi_{1,2}) = \\
 & = 2h \tau_{xy,\lambda}(0) - \bar{\tau}_{xy,\lambda}(0, \beta_2); \\
 & h\lambda(3c)^{-1}[2a_4 - (1-\nu)a_3] + m_1(\varphi_{0,2} + \varphi_{0,3}/h) - m_3\varphi_{0,1} - \\
 & - m_3(\varphi_{1,1} + \varphi_{1,2} + \varphi_{0,3}/h) = M_{x,\lambda}(0)/h - \bar{M}_{x,\lambda}(0, \beta_3); \\
 & h^2\lambda(3c)^{-1}[(1+\nu)a_4 - (1-\nu)a_3] + h[q_1(\varphi_{0,2} + \varphi_{0,3}/h)] + \\
 & + q_2\varphi_{0,1} - m_3(\varphi_{1,1} + \varphi_{1,2} + \varphi_{1,3}/h) = Q_{x,\lambda}(0) - \bar{Q}_{x,\lambda}(0, \beta_3); \\
 & \sigma_1 = (9+\nu)/16; \quad \sigma_2 = (3-5\nu)/16; \quad \sigma_3 = (1+\nu)/8; \\
 & \tau_1 = (5-3\nu)/16; \quad \tau_2 = (7-\nu)/16; \\
 & m_1 = (3+5\nu)/16; \quad m_2 = (7+\nu)/16; \quad m_3 = (1-\nu)/8; \\
 & q_1 = (9-\nu)/16; \quad q_2 = (5+3\nu)/16.
 \end{aligned} \tag{15}$$

Здесь $\sigma_{x,\lambda}(0)$, $\tau_{xy,\lambda}(0)$, $M_{x,\lambda}(0)$, $Q_{x,\lambda}(0)$ – соответственно нормальные и касательные напряжения, изгибающий момент и поперечная сила в торцах покрытий; $\bar{\sigma}_{x,\lambda}(0, \beta_1)$, $\bar{\tau}_{xy,\lambda}(0, \beta_1)$, $\bar{M}_{x,\lambda}(0, \beta_3)$, $\bar{Q}_{x,\lambda}(0, \beta_3)$ – аналогичные усилия, действующие по линиям $\xi = \beta_i$ ($i = 1, 2, 3$) (рис. 2).

Коэффициенты $\varphi_{n,j}$ определяются формулой (13), в которую входят постоянные $a_{j,\lambda}$ ($j = 1, 2, 3, 4$). Подставив формулу (13) в (15) и собрав слагаемые, содержащие одинаковые постоянные, получим линейную систему четырех алгебраических уравнений относительно постоянных $a_{j,\lambda}$. Определив эти постоянные, найдем напряжения и изгибные усилия в покрытиях.

В качестве примера были проведены вычисления приведенного изгибающего момента в балочной плите, загруженной только вертикальной сосредоточенной силой, приложенной в точке $\beta = cb$. При этом не учитывались касательные контактные напряжения. Из вычислений следует, что при $\beta H \geq 3,2$ слой можно заменить на упругое полупространство, для которого расчетные формулы существенно упрощаются. Если же $\beta H \leq 0,1$ упругий слой можно моделировать как винкеровское основание с коэффициентами

податливости $k_j = \lambda_j H$ ($j=1,2,3$). В этом случае контактные напряжения вычисляются по формулам $p_{j,\lambda}(x) = k_j^{-1} U_{j,\lambda}(x)$. Из результатов вычисления для всех толщин слоя при нагрузках на пластину, приложенных на расстояниях $\beta \geq 1,8$, расчетные усилия в пластине практически совпадают с аналогичными усилиями в бесконечной пластине, для которой получено точное решение уравнения (7) при $-\infty < x < \infty$ и $A_{r,\lambda} = B_{r,\lambda} = 0$.

Выводы

1. Построена математическая модель задачи для упругого слоя и полностью сцепленной с ним полубесконечной пластины, нагруженной движущейся с постоянной скоростью наклонной силой.
2. Получено приближенное решение этой математической модели методом ортогональных многочленов.

СПИСОК ИСПОЛЬЗОВАННОЙ ЛИТЕРАТУРЫ

1. Попов Г. Я. Контактные задачи для линейно-деформируемого основания. – К.: Вища школа, 1982. – 167 с.
2. Ворович И. И., Бабешко В. А. Динамические смешанные задачи теории упругости для неклассических областей. – М.: Наука, 1979. – 320 с.
3. Попов Г. Я. Концентрация упругих напряжений возле штампов, разрезов, тяжких включений и подкреплений. – М.: Наука, 1982. – 324 с.
4. Градштейн Н. С., Рыжик И. М. Таблицы интегралов, сумм, рядов и произведений. – М.: Физматгиз, 1971. – 1108 с.
5. Ланцош К. Практические методы прикладного анализа. – М.: Фитматгиз, 1961. – 387 с.
6. Гохберг И. Ц., Фельдман И. А. Уравнение в свертках и проекционные методы их решения. – М.: Наука, 1971. – 420 с.

Рукопись поступила в редакцию 28.04.2013 г.